

## Проект 6. Вокруг MLMC (Multilevel Monte Carlo). Приложения MLMC в финансовой математике

### I. Постановка базовой задачи

В данной работе предлагается рассмотреть различные подходы к нахождению численных решений стохастических дифференциальных уравнений. Базовым является следующее дифференциальное уравнение с начальным условием

$$dS(t) = a(S(t), t)dt + b(S(t), t)dW(t), \quad 0 \leq t \leq T, \quad S(0) = S_0. \quad (1)$$

Здесь  $W(t)$  – винеровский процесс.

Помимо нахождения численного решения дифференциальной задачи (которое, вообще говоря, зависит от реализации), бывает необходимо предложить оценку для следующей величины

$$Y = \mathbb{E}[f(S(T))],$$

где  $f(S)$  – липшицева функция. Данная задача оценки возникает в различных приложениях (в частности, в теории ценообразования опционных контрактов).

Для начала рассмотрим самый очевидный подход к решению дифференциальной задачи. Введем равномерную сетку

$$t_n = n\tau, \quad n = \overline{0, N}, \quad T = N\tau.$$

Каждому  $t_n$  сопоставим значение сеточной функции  $S_n$ . Запишем явную схему (*Euler-Maruyama method*), "заменив" дифференциалы конечными приращениями.

$$\hat{S}_{n+1} = \hat{S}_n + a(\hat{S}_n, t_n)\tau + b(\hat{S}_n, t_n)\Delta W_n. \quad (2)$$

В данной работе мы будем оперировать некоторыми важными терминами [4].

**Определение.** Говорят, что численное решение  $\hat{S}$  стохастического дифференциального уравнения (1) *сходится строго к точному решению  $S$  в момент  $T$* , если выполнено следующее предельное соотношение

$$\lim_{\tau \rightarrow 0} \mathbb{E}(|S(T) - \hat{S}_N|) = 0.$$

**Определение.** Говорят, что численное решение  $\hat{S}$  стохастического дифференциального уравнения (1) *сходится строго к точному решению  $S$  в момент  $T$  с порядком аппроксимации  $\gamma$* , если найдется такое положительное число  $C$ , не зависящее от  $\tau$ , и такое положительное число  $\tau_0$ , что выполнено следующее неравенство

$$\mathbb{E}(|S(T) - \hat{S}_N|) \leq C\tau^\gamma$$

для любого  $\tau \in (0, \tau_0)$ .

**Определение.** Говорят, что численное решение  $\hat{S}$  стохастического дифференциального уравнения (1) *сходится слабо к точному решению  $S$  в момент  $T$  в классе функций  $\mathcal{K}$* , если для любой  $f \in \mathcal{K}$  выполнено следующее предельное соотношение

$$\lim_{\tau \rightarrow 0} \left| \mathbb{E}[f(S(T))] - \mathbb{E}[f(\hat{S}_N)] \right| = 0.$$

**Определение.** Говорят, что численное решение  $\hat{S}$  стохастического дифференциального уравнения (1) *сходится слабо к точному решению  $S$  в момент  $T$  с порядком аппроксимации  $\gamma$  в классе функций*

$\mathcal{C}_P^{2(\gamma+1)}(\mathbb{R})$ , если для любой  $f \in \mathcal{C}_P^{2(\gamma+1)}(\mathbb{R})$  найдется такое положительное число  $C$ , не зависящее от  $\tau$ , и такое положительное число  $\tau_0$ , что выполнено следующее неравенство

$$\left| \mathbb{E}[f(S(T))] - \mathbb{E}[f(\hat{S}_N)] \right| \leq C\tau^\gamma$$

для любого  $\tau \in (0, \tau_0)$ .

**Замечание:**  $\mathcal{C}^m(\mathbb{R})$  — пространство  $m$  раз непрерывно дифференцируемых функций, заданных на вещественной прямой, а  $\mathcal{C}_P^m(\mathbb{R})$  — подпространство функций  $f \in \mathcal{C}^m(\mathbb{R})$ , для которых все частные производные до порядка  $m$  включительно имеют полиномиальный рост. То есть найдется число  $K > 0$  и число  $r \in \mathbb{Z}^+$ , зависящие, вообще говоря, от  $f$ , что

$$\left| \frac{\partial^j f(y)}{\partial y^j} \right| \leq K(1 + |y|^{2r}) \quad \forall y \in \mathbb{R}, \quad \forall j \leq m.$$

II. Явные методы аппроксимации стохастических дифференциальных уравнений. Monte Carlo подход к оценке целевой функции

В качестве оценки  $Y$  возьмем среднее по нескольким реализациям процессов  $\{\hat{S}_n^{(i)}\}$

$$\bar{Y} = \frac{1}{M} \sum_{i=1}^M f(\hat{S}_N^{(i)}). \quad (3)$$

Возникает естественный вопрос: насколько оценка  $\bar{Y}$  аппроксимирует точную величину  $Y$ ? В качестве метрики качества аппроксимации будем использовать mean-squared error

$$\text{MSE} = \mathbb{E}|Y - \bar{Y}|^2.$$

Кажется понятным, что функция MSE должна зависеть от используемых параметров конечно-разностной задачи, то есть от шага временной сетки  $\tau$  и количества различных реализаций процессов  $M$ .

Для исследования асимптотики MSE в зависимости от параметров  $\tau$  и  $M$  рассмотрим величину

$$\hat{Y} = \mathbb{E}[f(\hat{S}_N)].$$

Теперь распишем величину MSE

$$\text{MSE} = \mathbb{E}[(\bar{Y} - Y)^2] = \mathbb{E}[(\bar{Y} - \hat{Y} + \hat{Y} - Y)^2] = \mathbb{E}[(\bar{Y} - \hat{Y})^2] + 2\mathbb{E}[(\bar{Y} - \hat{Y})(\hat{Y} - Y)] + \mathbb{E}[(\hat{Y} - Y)^2].$$

Поскольку  $\hat{Y} - Y = \text{const}$ , то

$$\begin{aligned} \text{MSE} &= \mathbb{E}[(\bar{Y} - \hat{Y})^2] + 2(\hat{Y} - Y)\mathbb{E}[(\bar{Y} - \hat{Y})] + \mathbb{E}[(\hat{Y} - Y)^2] = \mathbb{E}[(\bar{Y} - \hat{Y})^2] + 2(\hat{Y} - Y)(\mathbb{E}\bar{Y} - \hat{Y}) + \\ &\quad + (\hat{Y} - Y)^2 = \mathbb{E}[(\bar{Y} - \hat{Y})^2] + (\hat{Y} - Y)^2. \end{aligned}$$

Здесь мы учли, что на независимых реализациях

$$\mathbb{E}\bar{Y} = \frac{1}{M} \mathbb{E} \left[ \sum_{i=1}^M f(\hat{S}_N^{(i)}) \right] = \frac{1}{M} \sum_{i=1}^M \mathbb{E}[f(\hat{S}_N^{(i)})] = \mathbb{E}[f(\hat{S}_N^{(1)})] = \hat{Y}.$$

Осталось преобразовать первое слагаемое

$$\mathbb{E}[(\bar{Y} - \hat{Y})^2] = \mathbb{E}\bar{Y}^2 - 2\mathbb{E}(\bar{Y}\hat{Y}) + \mathbb{E}\hat{Y}^2 = \mathbb{E}\bar{Y}^2 - (\mathbb{E}\bar{Y})^2 = \mathbb{D}\bar{Y} = \frac{1}{M} \mathbb{D}[f(\hat{S}_N^{(1)})].$$

Итого,

$$\text{MSE} = \frac{1}{M} \mathbb{D} \left[ f(\hat{S}_N^{(1)}) \right] + \left( \hat{Y} - Y \right)^2. \quad (4)$$

Мы получили очень важный результат: первое слагаемое в MSE возникает из-за реализации эксперимента по методу Monte Carlo. Второе слагаемое возникает из-за дискретизации исходной дифференциальной задачи явной схемой Euler-Maruyama. Распишем его подробнее. Чтобы это сделать, воспользуемся следующим результатом

**Теорема 1.** Пусть  $a(x, t), b(x, t)$  – липшицевы функции из класса  $C_P^4(\mathbb{R}^2)$ . Для решения стохастического дифференциального уравнения

$$dS(t) = a(S(t), t)dt + b(S(t), t)dW(t), \quad 0 \leq t \leq T, \quad S(0) = S_0.$$

предлагается использовать разностную схему

$$\hat{S}_{n+1} = \hat{S}_n + a(\hat{S}_n, t_n)\tau_n + b(\hat{S}_n, t_n)\Delta W_n, \quad \hat{S}_0 = S_0.$$

с максимальным шагом по времени  $\tau = \max_n \tau_n$ . Тогда для любой липшицевой функции  $f \in C_P^4(\mathbb{R})$  найдется положительное число  $C_f$ , не зависящее от  $\tau$ , такое, что

$$\left| \mathbb{E} [f(S(T))] - \mathbb{E} [f(\hat{S}_N)] \right| \leq C_f \tau. \quad (5)$$

*Доказательство.* Нам придется применить инструмент условного математического ожидания. Рассмотрим случайный процесс

$$u(x, t) = \mathbb{E} [f(S(T)) | S(t) = x]. \quad (6)$$

Согласно формуле Феушман-Кас [4],  $u(x, t)$  является решением дифференциального уравнения

$$\frac{\partial u}{\partial t} + a \frac{\partial u}{\partial x} + \frac{1}{2} b^2 \frac{\partial^2 u}{\partial x^2} = 0. \quad (7)$$

Применим формулу Ито для функции  $u(\hat{S}(t), t)$

$$\begin{aligned} u(\hat{S}(T), T) - u(\hat{S}(0), 0) &= \int_0^T du(\hat{S}(t), t) = \int_0^T \left( \frac{\partial u(\hat{S}(t), t)}{\partial t} + \hat{a}(t) \frac{\partial u(\hat{S}(t), t)}{\partial x} + \frac{1}{2} \hat{b}^2(t) \frac{\partial^2 u(\hat{S}(t), t)}{\partial x^2} \right) dt + \\ &+ \int_0^T \frac{\partial u(\hat{S}(t), t)}{\partial x} \hat{b}(t) dW. \end{aligned}$$

Теперь сделаем замену, используя (7)

$$\frac{\partial u}{\partial t} = -a \frac{\partial u}{\partial x} - \frac{1}{2} b^2 \frac{\partial^2 u}{\partial x^2}.$$

Подставим в предыдущую формулу и получим

$$\int_0^T \left( \left( \hat{a}(t) - a(\hat{S}(t), t) \right) \frac{\partial u(\hat{S}(t), t)}{\partial x} + \frac{1}{2} \left( \hat{b}^2(t) - b^2(\hat{S}(t), t) \right) \frac{\partial^2 u(\hat{S}(t), t)}{\partial x^2} \right) dt + \int_0^T \frac{\partial u(\hat{S}(t), t)}{\partial x} \hat{b}(t) dW.$$

Математическое ожидание от последнего интеграла обращается в нуль

$$\mathbb{E} \left[ \int_0^T \frac{\partial u(\hat{S}(t), t)}{\partial x} \hat{b}(t) dW \right] = 0.$$

Учтем также свойства введенного нами процесса, а именно

$$u(\hat{S}(T), T) = f(\hat{S}(T)), \quad u(\hat{S}(0), 0) = u(S_0, 0) = \mathbb{E} [f(\hat{S}(t))].$$

Далее, получаем

$$\begin{aligned} \mathbb{E} [f(S(T))] - \mathbb{E} [f(\hat{S}(T))] &= \int_0^T \mathbb{E} \left[ \left( \hat{a}(t) - a(\hat{S}(t), t) \right) \frac{\partial u(\hat{S}(t), t)}{\partial x} \right] dt + \\ &+ \frac{1}{2} \int_0^T \mathbb{E} \left[ \left( \hat{b}^2(t) - b^2(\hat{S}(t), t) \right) \frac{\partial^2 u(\hat{S}(t), t)}{\partial x^2} \right] dt = \sum_{n=0}^{N-1} \int_{t_n}^{t_{n+1}} \mathbb{E} \left[ \left( \hat{a}(t) - a(\hat{S}(t), t) \right) \frac{\partial u(\hat{S}(t), t)}{\partial x} \right] dt + \\ &+ \frac{1}{2} \sum_{n=0}^{N-1} \int_{t_n}^{t_{n+1}} \mathbb{E} \left[ \left( \hat{b}^2(t) - b^2(\hat{S}(t), t) \right) \frac{\partial^2 u(\hat{S}(t), t)}{\partial x^2} \right] dt. \end{aligned}$$

Оставим без доказательства следующие верхние оценки

$$\sup_{t_n < t < t_{n+1}} \left| \mathbb{E} \left[ \left( \hat{a}(t) - a(\hat{S}(t), t) \right) \frac{\partial u(\hat{S}(t), t)}{\partial x} \right] \right| \leq C_1 \tau, \quad (8)$$

$$\sup_{t_n < t < t_{n+1}} \left| \mathbb{E} \left[ \left( \hat{b}^2(t) - b^2(\hat{S}(t), t) \right) \frac{\partial^2 u(\hat{S}(t), t)}{\partial x^2} \right] \right| \leq C_2 \tau. \quad (9)$$

Получаем первый порядок слабой сходимости численного решения  $\hat{S}(t)$  к точному решению  $S(t)$  при  $\tau \rightarrow 0$ .

$$\left| \mathbb{E} [f(S(T))] - \mathbb{E} [f(\hat{S}(T))] \right| \leq \left( C_1 + \frac{C_2}{2} \right) \tau \sum_{n=0}^{N-1} \int_{t_n}^{t_{n+1}} dt = C(T) \tau. \quad (10)$$

■

Итак, мы выяснили, что схема Euler-Maruyama имеет первый порядок аппроксимации. Помимо точности, к численному решению предъявляются условия на вычислительные ресурсы, необходимые для получения данного решения. Ясно, что число вычислительных операций (total cost), необходимых для получения оценки  $\bar{Y}$ , равно  $\text{TC} \sim MN$ , (напомним, что  $N$  – число подотрезков, на которые разбивается отрезок  $[0, T]$ , а  $M$  – число различных реализаций метода Monte Carlo). Оценка MSE приближенно равна

$$\text{MSE}(M, N) \sim \frac{C_1}{M} + \frac{C_2}{N^2} = \frac{C_1}{M} + \frac{C_2 M^2}{\text{TC}^2}.$$

Найдем минимум данной функции

$$\begin{aligned} \frac{\partial \text{MSE}}{\partial M} &= -\frac{C_1}{M^2} + \frac{2C_2 M}{\text{TC}^2} = 0, \\ M &= \left( \frac{C_1 \text{TC}^2}{2C_2} \right)^{1/3}, \quad N = \left( \frac{2C_2 \text{TC}}{C_1} \right)^{1/3}. \end{aligned}$$

Поскольку

$$\frac{\partial^2 \text{MSE}}{\partial M^2} = \frac{2C_1}{M^3} + \frac{2C_2}{\text{TC}^2} > 0, \quad \forall M > 0,$$

то найденные значения  $M$  и  $N$  обеспечивают минимум MSE. При этом

$$\frac{C_1}{M} = \left( \frac{2C_2 C_1^2}{\text{TC}^2} \right)^2, \quad \frac{C_2}{N^2} = \left( \frac{C_2 C_1^2}{4\text{TC}^2} \right)^2,$$

то есть член, связанный с вариацией  $\bar{Y}$  из-за реализации эксперимента по методу Monte Carlo в 2 раза больше, чем член, связанный с дискретизацией дифференциальной задачи (bias). Это довольно важный результат, который следует учитывать при подборе шага по времени  $\tau$  и числа реализаций  $M$  по методу Monte Carlo.

Если же мы хотим минимизировать число вычислительных операций, то необходимо решить следующую оптимизационную задачу

$$\text{TC} = MN = C_1 N \left( \text{MSE} - \frac{C_2}{N^2} \right)^{-1} \longrightarrow \min.$$

$$\frac{\partial \text{TC}}{\partial N} = \frac{3C_1 N^2}{N^2 \text{MSE} - C_2} - \frac{2C_1 N^4 \text{MSE}}{(N^2 \text{MSE} - C_2)^2} = 0,$$

Оптимальные значения числа временных подотрезков и числа реализаций метода Monte Carlo

$$N = \left( \frac{3C_2}{\text{MSE}} \right)^{1/2}, \quad M = \frac{3C_1}{2\text{MSE}}.$$

Количество операций

$$\text{TC} = \left( \frac{3}{\text{MSE}} \right)^{3/2} \frac{C_1 \sqrt{C_2}}{2}.$$

Если от оценки требуется точность  $\sqrt{\text{MSE}} = O(\varepsilon)$ , то с точки зрения оптимального количества вычислительных операций эффективно подбирать параметры следующим образом

$$N = O(\varepsilon^{-1}), \quad M = O(\varepsilon^{-2}),$$

при этом  $\text{TC} = O(\varepsilon^{-3})$ .

Другой подход для построения конечной разностной схемы, аппроксимирующей исходную дифференциальную задачу (**Milstein method**)

$$\hat{S}_{n+1} = \hat{S}_n + a(\hat{S}_n, t_n)\tau + b(\hat{S}_n, t_n)\Delta W_n + \frac{1}{2}b(\hat{S}_n, t_n)\frac{\partial b}{\partial t}(\hat{S}_n, t_n)((\Delta W_n)^2 - \tau). \quad (11)$$

**Пример 1.** Рассмотрим стохастическое дифференциальное уравнение со следующими функциями

$$a(S(t), t) = \frac{2}{5}S^{3/5}(t) + 5S^{4/5}(t), \quad b(S(t), t) = S^{4/5}(t).$$

Для решения уравнения с заданным начальным условием

$$dS(t) = \left( \frac{2}{5}S^{3/5}(t) + 5S^{4/5}(t) \right) dt + \left( S^{4/5}(t) \right) dW(t), \quad 0 \leq t \leq T, \quad S(0) = 1 \quad (12)$$

воспользуемся формулой Ито. Рассмотрим функцию  $\psi(x, t) = x^{1/5}$  и процесс  $\psi(S(t), t)$ . Стохастический дифференциал

$$d\psi(S(t), t) = \left[ \frac{\partial \psi(S, t)}{\partial t} + \frac{\partial \psi(S, t)}{\partial x} a(S, t) + \frac{1}{2} \frac{\partial^2 \psi(S, t)}{\partial x^2} b^2(S, t) \right] dt + \frac{\partial \psi(S, t)}{\partial x} b(S, t) dW(t). \quad (13)$$

После подстановки

$$d\psi(S(t), t) = \left( \frac{2}{25} S^{-1/5}(t) + 1 - \frac{2}{25} S^{-1/5}(t) \right) dt + \frac{1}{5} dW(t) = dt + \frac{1}{5} dW(t).$$

Отсюда получаем точное решение стохастического дифференциального уравнения.

$$S(t) = \left( S_0 + t + \frac{1}{5} W(t) \right)^5 = \left( 1 + t + \frac{1}{5} W(t) \right)^5. \quad (14)$$

Вычислим математическое ожидание  $Y = \mathbb{E}S(T)$  при  $T = 1$ . Учтем, что  $W(T) \sim \mathcal{N}(0, T) = \mathcal{N}(0, 1)$ . Моменты нормально распределенной случайной величины со средним математическим ожиданием

$$\mathbb{E}[W^p(T)] = \begin{cases} 0, & p - \text{нечетное}, \\ T^p(p-1)!!, & p - \text{четное}. \end{cases}$$

Таким образом, точное значение целевой переменной  $Y$  есть

$$\mathbb{E} \left( 1 + T + \frac{1}{5} W(T) \right)^5 = (1+T)^5 + \frac{2}{5}(1+T)^3 \mathbb{E}W^2(T) + \frac{1}{125}(1+T) \mathbb{E}W^4(T) = 32 + \frac{16}{5} + \frac{3}{125} = 35,224. \quad (15)$$

На рис. 1 представлены траектории процессов  $S(t)$  для нескольких одинаковых реализаций винеровского процесса. Слева изображены траектории на основании точного решения стохастического дифференциального уравнения, а справа — траектории, рассчитанные Euler-Маруама методом. Временной шаг сетки  $\tau = 2^{-10}$ . Число усреднений  $M = 10^4$ . На рис. 2 справа изображены траектории, рассчитанные Milstein методом.



Рис. 1: Точные решения дифференциального уравнения (12) и численные решения, найденные методом Euler-Маруама, при одинаковых реализациях винеровского процесса. Число реализаций  $M = 10^4$ , число реализаций  $N = 2^{10}$

Интересно исследовать зависимость величины ошибки MSE в зависимости от размера временного шага  $\tau$ . В качестве оценки MSE будем использовать величину

$$\hat{\chi} = \frac{1}{M} \sum_{i=1}^M (S^{(i)}(T) - \hat{S}_N^{(i)})^2.$$

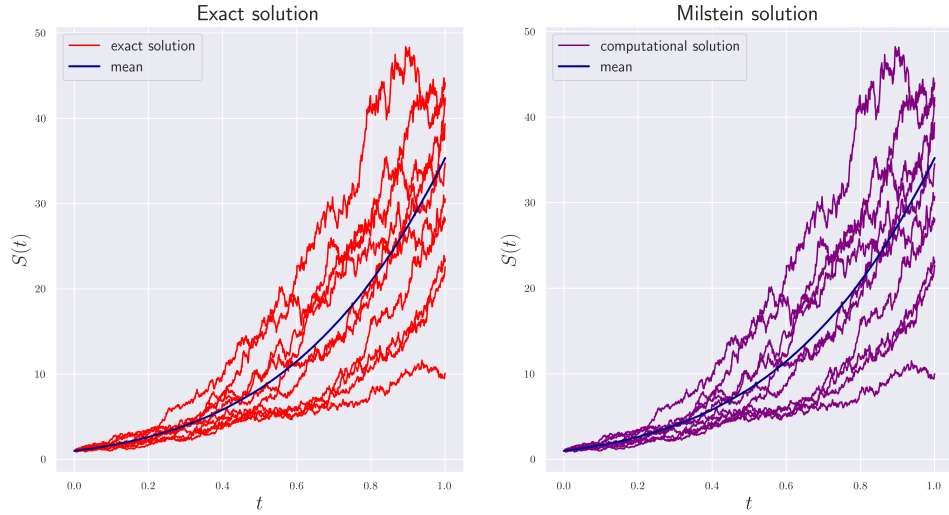


Рис. 2: Точные решения дифференциального уравнения (12) и численные решения, найденные методом Milstein, при одинаковых реализациях винеровского процесса. Число реализаций  $M = 10^4$ , число реализаций  $N = 2^{10}$

Здесь индекс  $i$  относится к одной и той же реализации как численно найденного решения, так и точного решения дифференциальной задачи.

На рис. X представлена зависимость ошибки  $\hat{\chi}$  от значения  $N$  для двух методов дискретизации. В обоих случаях  $M = 10^4$ .

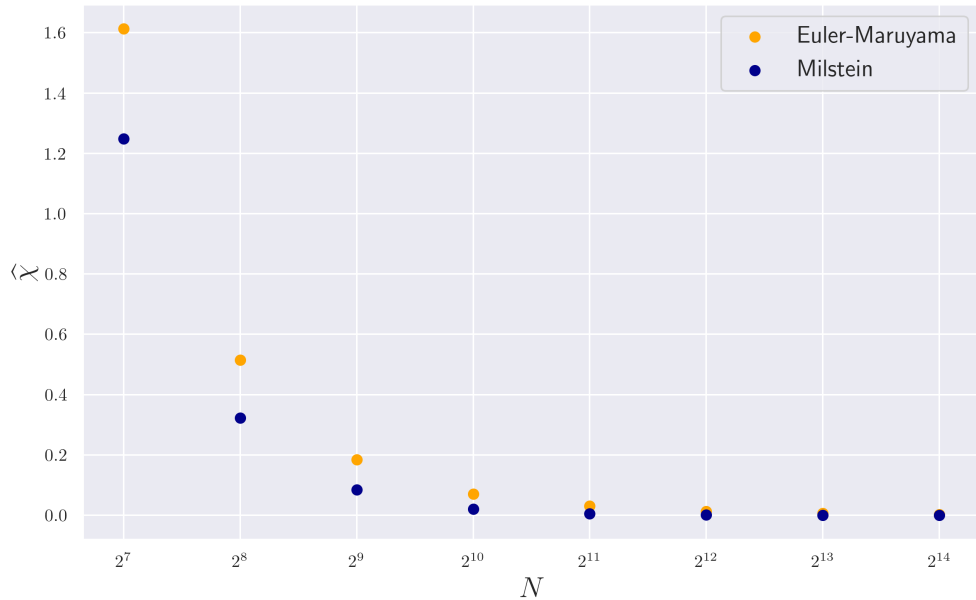


Рис. 3: Оценка MSE для двух методов дискретизации дифференциальной задачи. Число реализаций  $M = 10^4$

### III. Multilevel Monte Carlo подход к оценке целевой функции

Предлагается применить другую, куда более эффективную процедуру нахождения оценки величины  $Y$ . Данная процедура основана на multilevel Monte-Carlo (MLMC) методе.

Кратко будем обозначать (payoff function) величину

$$P = f(S(T)).$$

Данная терминология пришла из теории ценообразования опционов, к которой мы обратимся далее. Здесь как и ранее полагается, что  $f$  удовлетворяет условию Липшица на отрезке  $[0, T]$ .

Используя метод Euler-Маруама, мы выяснили, что если мы хотим поддерживать значение MSE на уровне  $O(\varepsilon^2)$ , то оптимальный выбор параметров есть  $\tau = O(\varepsilon)$  и  $M = O(\varepsilon^{-2})$ , а число вычислительных операций при таком подборе параметров  $TC = O(\varepsilon^{-3})$ . Наша задача состоит в оптимизации вычислительных ресурсов и приведении числа операций к асимптотике

$$TC = O(\varepsilon^{-2}(\log \varepsilon)^2),$$

при этом вычисления проводятся с различным количеством временных шагов  $N$ . Число изменений временных шагов будет подбираться таким образом, чтобы сохранялась требуемая точность численного решения.

Рассмотрим равномерные разбиения отрезка  $[0, T]$  с варьируемым шагом  $\tau_l = q^{-l}\tau_0$ , где  $q$  – некоторое натуральное число,  $l = \overline{0, L}$ , а  $\tau_0$  берется таким, чтобы

$$N_0\tau_0 = T, \quad N_0 \in \mathbb{N}.$$

При этом число отрезков разбиения на уровне  $l$  есть  $N_l = T/(\tau_0 q^l)$ . Payoff на произвольной  $i$ -ой реализации численного решения на уровне  $l$  обозначим как

$$\hat{P}_l^{(i)} = f(\hat{S}_{N_l}^{(i)}).$$

Ясно, что

$$\mathbb{E}[\hat{P}_L] = \mathbb{E}[\hat{P}_0] + \sum_{l=1}^L \mathbb{E}[\hat{P}_l - \hat{P}_{l-1}].$$

Основная задача состоит в оценке  $\mathbb{E}[\hat{P}_0]$  и  $\mathbb{E}[\hat{P}_l - \hat{P}_{l-1}]$  методом Monte Carlo

$$\bar{Z}_l = \frac{1}{M_l} \sum_{i=1}^{M_l} (\hat{P}_l^{(i)} - \hat{P}_{l-1}^{(i)}), \quad \bar{Z}_0 = \frac{1}{M_0} \sum_{i=1}^{M_0} \hat{P}_0^{(i)}. \quad (16)$$

Используя независимые реализации для каждого уровня  $l$ , можно записать среднеквадратичную ошибку

$$\text{MSE} = \mathbb{D} \left[ \sum_{l=0}^L \bar{Z}_l \right] = \sum_{l=0}^L \mathbb{D} [\bar{Z}_l] = \sum_{l=0}^L \frac{1}{M_l^2} \mathbb{D} \left[ \sum_{i=1}^{M_l} (\hat{P}_l^{(i)} - \hat{P}_{l-1}^{(i)}) \right] = \sum_{l=0}^L \frac{V_l}{M_l},$$

где

$$V_0 = \mathbb{D} [\hat{P}_0], \quad V_l = \mathbb{D} [\hat{P}_l - \hat{P}_{l-1}].$$

Количество вычислительных операций есть сумма числа операций на каждом уровне

$$TC = \sum_{l=0}^L TC_l = \sum_{l=0}^L M_l N_l.$$



Для нахождения минимума функции ТС при фиксированной погрешности воспользуемся методом множителей Лагранжа, найдя оптимальные значения числа реализаций  $M_l$  метода Monte Carlo. Функцию Лагранжа представим в виде

$$\mathcal{L} = \sum_{l=0}^L \left( M_l N_l + \frac{V_l}{M_l} \mu^2 \right) \quad (17)$$

с множителем Лагранжа  $\mu^2$ . Произведем дифференцирование функции Лагранжа по переменным  $M_l$  и найдем значения реализаций по методу Monte Carlo, при которых достигается оптимум

$$\frac{\partial \mathcal{L}}{\partial M_l} = N_l - \frac{V_l}{M_l^2} \mu^2 = 0, \quad M_l = \mu \sqrt{V_l / N_l}.$$

Если мы хотим поддерживать MSE на уровне  $\varepsilon^2$ , то необходимо удовлетворить

$$\mathbb{D} \left[ \sum_{l=0}^L \bar{Z}_l \right] = \sum_{l=0}^L \frac{V_l}{\mu \sqrt{V_l / N_l}} = \frac{1}{\mu} \sum_{l=0}^L \sqrt{V_l N_l} \sim \varepsilon^2.$$

Отсюда находим оптимальное значение множителя Лагранжа

$$\mu = \varepsilon^{-2} \sum_{l=0}^L \sqrt{V_l N_l}.$$

Итоговое количество вычислительных операций

$$\text{TC} = \varepsilon^{-2} \left( \sum_{l=0}^L \sqrt{V_l N_l} \right)^2. \quad (18)$$

Важно проследить за изменением произведения  $V_l N_l$  при переходе с одного уровня на другой. Если  $V_l N_l$  растет с увеличением уровня  $l$ , то наибольший вклад в total cost дает последний член с  $l = L$ , поэтому  $\text{TC} \approx \varepsilon^{-2} V_L N_L$ . Если же наблюдается обратная ситуация, то есть произведение  $V_l N_l$  падает с увеличением  $l$ , то доминирующим будет член  $V_0 N_0$ , и  $\text{TC} \approx \varepsilon^{-2} V_0 N_0$ .

Попробуем получить асимптотику для  $V_l$ . Для липшицевой функции с константой Липшица  $K$  выполнено неравенство

$$|f(S_1) - f(S_2)| \leq K |S_1 - S_2|,$$

поэтому

$$\mathbb{D} \left[ f(S(T)) - f(\hat{S}_{N_l}^{(i)}) \right] = \mathbb{D} \left[ P - P_l^{(i)} \right] \leq \mathbb{E} \left[ (P - P_l^{(i)})^2 \right] \leq K^2 \mathbb{E} \left[ (S(T) - \hat{S}_{N_{l-1}}^{(i)})^2 \right], \quad (19)$$

$$V_l^{(i)} = \mathbb{D} \left[ f(\hat{S}_{N_l}^{(i)}) - f(\hat{S}_{N_{l-1}}^{(i)}) \right] = \mathbb{D} \left[ P_l^{(i)} - P_{l-1}^{(i)} \right] \leq 2 \left( \mathbb{D} \left[ P - P_l^{(i)} \right] + \mathbb{D} \left[ P - P_{l-1}^{(i)} \right] \right). \quad (20)$$

Поскольку

$$\mathbb{E} \left[ f(S(T)) - f(\hat{S}_N) \right] = O(\tau),$$

то  $V_l = O(\tau_l)$ . Поэтому

$$\text{TC} = O(\varepsilon^{-2} L^2).$$

Если положить число уровней

$$L = -\frac{\log_2 \varepsilon}{\log_2 q} + O(1),$$

то при поддержании  $MSE \sim \varepsilon^2$  число операций, необходимых для вычисления  $\bar{Y}$  методом MLMC, имеет асимптотику

$$TC = O(\varepsilon^{-2}L^2) = O(\varepsilon^{-2}(\log_2 \varepsilon)^2).$$

Далее нам понадобится еще один крайне важный результат.

**Теорема 2. (MLMC theorem, [2])** Пусть  $P = f(S)$  — payoff-функция решения  $S(t)$  стохастического дифференциального уравнения (1), а  $\hat{P}_l$  — соответствующая ей оценка, полученная в результате численной аппроксимации (1) и использования метода MLMC на некотором уровне  $l$ .

Если существуют независимые оценки  $\bar{Z}_l$ , рассчитанные на основе  $M_l$  реализаций по методу Monte Carlo, на каждую из которых было потрачено  $C_l$  операционного времени (объем вычислительных затрат) и положительные константы  $\alpha, \beta, \gamma, c_1, c_2, c_3$  такие, что

$$\alpha \geq \frac{1}{2} \min(\beta, \gamma),$$

и

1. для слабой сходимости  $\hat{P}_L$  выполнено

$$\left| \mathbb{E} [\hat{P}_l - P] \right| \leq c_1 2^{-\alpha l},$$

2. математические ожидания оценок  $\bar{Z}_l$  есть

$$\mathbb{E} [\bar{Z}_l] = \begin{cases} \mathbb{E} [\hat{P}_0], & l = 0, \\ \mathbb{E} [\hat{P}_l - \hat{P}_{l-1}], & l > 0, \end{cases}$$

3. дисперсии оценок  $\bar{Z}_l$  удовлетворяют неравенству

$$\mathbb{D} [\bar{Z}_l] \leq c_2 M_l^{-1} 2^{-\beta l},$$

4. математические ожидания вычислительных затрат удовлетворяют неравенству

$$\mathbb{E} [C_l] \leq c_3 2^{\gamma l}.$$

Тогда существует такая положительная константа  $c_4$ , что для любого  $0 < \varepsilon < 1$  найдутся число уровней  $L$  и число реализаций  $M_l$  на каждом уровне, для которых MLMC-оценка

$$\bar{Y} = \sum_{l=0}^L \bar{Z}_l$$

будет обладать MSE, удовлетворяющей неравенству

$$MSE = \mathbb{E} [(\bar{Y} - \mathbb{E} [P])^2] < \varepsilon^2$$

с полными вычислительными затратами

$$TC = \begin{cases} c_4 \varepsilon^{-2}, & \beta > \gamma, \\ c_4 \varepsilon^{-2}, (\log_2 \varepsilon)^2 & \beta = \gamma, \\ c_4 \varepsilon^{-2-(\gamma-\beta)/\alpha}, & 0 < \beta < \gamma. \end{cases}$$

В приложениях оказывается крайне важным подобрать оптимальное значение параметра  $q$  (то, на сколько частей мы разбиваем временной отрезок длиной  $\tau_l$  при переходе с уровня  $l$  на уровень  $l + 1$ ). Итак, мы выяснили, что

$$\mathbb{D} [\hat{P}_l - P] \approx c_0 \tau_l.$$

Для разности рауфф-функций на двух уровнях имеем

$$\hat{P}_l - \hat{P}_{l-1} = (\hat{P}_l - P) - (\hat{P}_{l-1} - P).$$

Дисперсию разности двух случайных величин можно представить в виде

$$V_l = \mathbb{D} [\hat{P}_l - \hat{P}_{l-1}] = \mathbb{D} [\hat{P}_l - P] + \mathbb{D} [\hat{P}_{l-1} - P] - 2\text{cov}(\hat{P}_l - P, \hat{P}_{l-1} - P).$$

Отсюда получаем верхнюю и нижнюю границу для  $\mathbb{D} [\hat{P}_l - \hat{P}_{l-1}]$ , учитывая коллинеарность и анти-коллинеарность величин  $\hat{P}_l - P$  и  $\hat{P}_{l-1} - P$

$$c_0 \tau_l (\sqrt{q} - 1)^2 \leq V_l \leq c_0 \tau_l (\sqrt{q} + 1)^2.$$

Теперь предположим, что значение  $V_l$  приближенно задается средним геометрическим верхней и нижней границ

$$V_l \approx c_0 \tau_l (q - 1).$$

Отсюда можно получить приближение для числа реализаций по методу multilevel Monte Carlo

$$M_l = \varepsilon^{-2} \sqrt{V_l / N_l} \sum_{l=0}^L \sqrt{V_l N_l} \approx 2\varepsilon^{-2} (L + 1) V_l = 2\varepsilon^{-2} (L + 1) c_0 \tau_l (q - 1).$$

Число вычислительных операций для определения  $\hat{P}_l - \hat{P}_{l-1}$  равно

$$M_l (N_l + N_{l-1}) = M_l N_l (1 + 1/q) \approx 2\varepsilon^{-2} (L + 1) C_0 (q - 1/q).$$

Поскольку мы выбрали асимптотику для числа уровней следующим образом

$$L = -\frac{\log_2 \varepsilon}{\log_2 q} + O(1),$$

то, осуществляя суммирование по всем уровням, мы получим для total cost оценку

$$\text{TC} = O(\varepsilon^{-2} (\log_2 \varepsilon)^2 \omega(q)), \quad \omega(q) = \frac{q - q^{-1}}{(\log_2 q)^2}.$$

График зависимости  $\omega(q)$  представлен на рис. 4. Наименьшее значение  $\omega(q)$  достигается при  $q = 6,76 \approx 7$ . Минимум  $\omega(q)$  почти в 1,8 раз меньше значения  $\omega(2)$ . Поэтому надлежащий выбор фактора  $q$  позволяет значительно сэкономить вычислительные ресурсы. В дальнейших численных экспериментах будет браться значение  $q = 4$ .

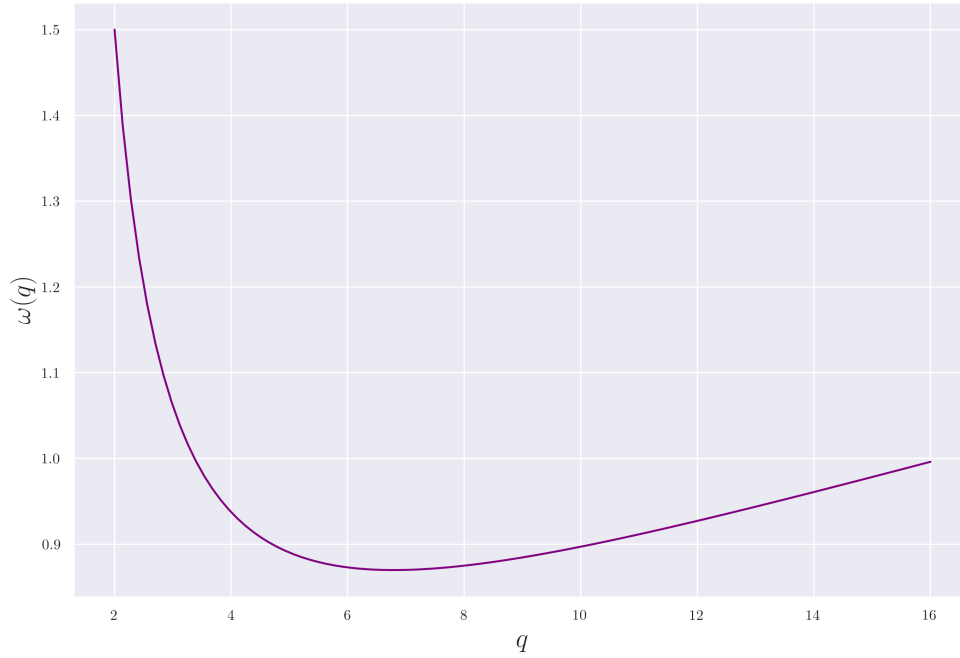


Рис. 4: Зависимость  $\omega(q)$  для нахождения оптимального значения параметра  $q$

**Пример 2.** Рассмотрим пример применения MLMC для расчета payoff европейского call-опциона на некоторый актив. Под call-опционом понимают финансовый инструмент, дающий право на покупку некоторого актива по заранее назначенной цене  $K$  (*цена исполнения опциона*) через время  $T$  (*время исполнения опциона*).

Пусть цена базового актива  $S(t)$  описывается геометрическим броуновским движением

$$dS = rS(t)dt + \sigma S(t)dW, \quad 0 < t < T. \quad (21)$$

Начальная цена базового актива  $S(0) = S_0 = 100$ , время исполнения опциона  $T = 1$ . Также введены параметры  $r = 0,05$  (*процентная ставка*),  $\sigma = 0,2$  (*волатильность*).

Payoff-функция опциона

$$P(S(T)) = \exp(-rT) \max(S(T) - K, 0) = \exp(-rT)(S(T) - K)^+,$$

где *цену исполнения опциона* примем равной начальной цене базового актива  $K = 100$ .

Сперва найдем точное решение стохастического дифференциального уравнения (21). Используем формулу Ито для функции  $\psi(x, t) = \ln x$ . Стохастический дифференциал

$$d\psi(S(t), t) = d \ln S(t) = \left( r - \frac{\sigma^2}{2} \right) dt + \sigma dW.$$

Данное уравнение уже с легкостью интегрируется. Цена базового актива

$$S(t) = S_0 \exp \left( \left( r - \frac{\sigma^2}{2} \right) t + \sigma W(t) \right). \quad (22)$$

На рис. 5 представлена динамика цены базового актива  $S(t)$ , рассчитанная по формуле (22) для одной реализации, а также соответствующая payoff-функция  $P(t)$ . Как видно из рисунка,  $P(t) = 0$  в тех случаях, когда цена базового актива  $S(t)$  становится ниже цены исполнения опциона  $K$  (пунктирная линия).

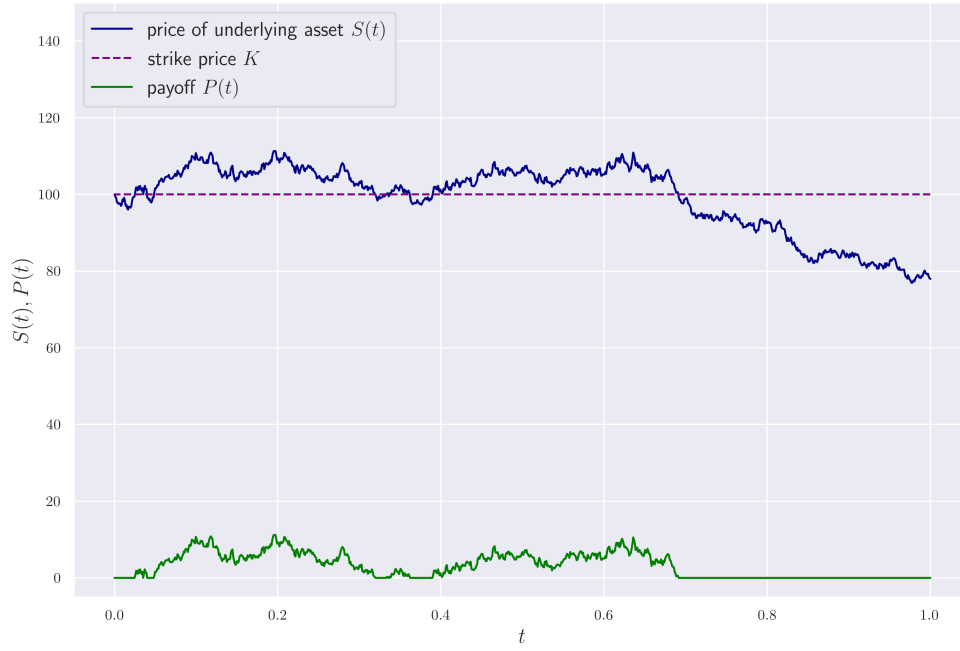


Рис. 5: Динамика цены базового актива  $S(t)$ , рассчитанная по формуле для точного решения уравнения геометрического броуновского движения, и payoff-функции  $P(t)$

Для численного решения дифференциальной задачи предлагается использовать схему Euler-Maruyama

$$\hat{S}_{n+1} = \hat{S}_n + r\hat{S}_n\tau_n + \sigma\hat{S}_n\Delta W_n, \quad \overline{n = 0, N-1}, \quad \hat{S}_0 = S(0).$$

На рис. 6 представлены пять реализаций цены базового актива  $\hat{S}(t)$ , рассчитанные методом Euler-Maruyama (число шагов  $N = 2^{10}$ ). Красным цветом обозначена средняя цена базового актива, усредненная по  $M = 10^4$  реализациям метода Monte Carlo.

Сопоставим среднее значение payoff-функции, рассчитанное standard Monte Carlo методом, с формулой Black-Scholes

$$C(T) = S_0\Phi(y_+) - K\exp(-rT)\Phi(y_-), \quad (23)$$

где

$$y_{\pm} = \frac{1}{\sigma\sqrt{T}} \left( \ln \frac{S_0}{K} + \left( r \pm \frac{\sigma^2}{2} \right) T \right).$$

На рис. 7 желтым цветом обозначена  $(t)$ , рассчитанная по формуле Black-Scholes. Зелеными точками обозначены усредненные по  $M = 10^4$  реализациям метода Monte Carlo значения payoff.

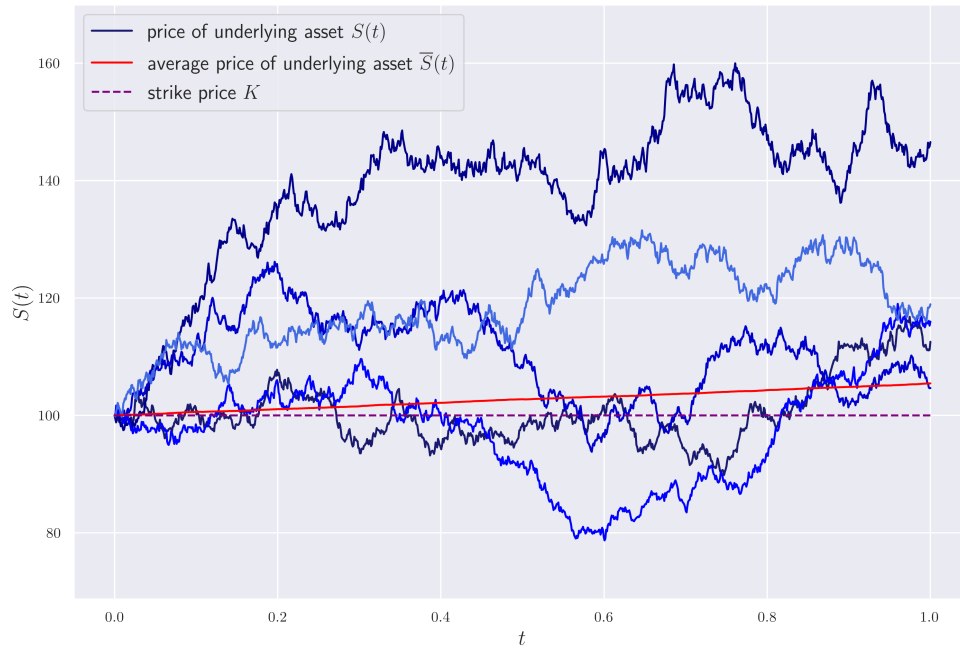


Рис. 6: Динамика цены базового актива  $\hat{S}(t)$ , рассчитанная методом Euler-Maruyama (standard MC), и усредненная цена базового актива для  $M = 10^4$  реализаций. Количество шагов  $N = 2^{10}$

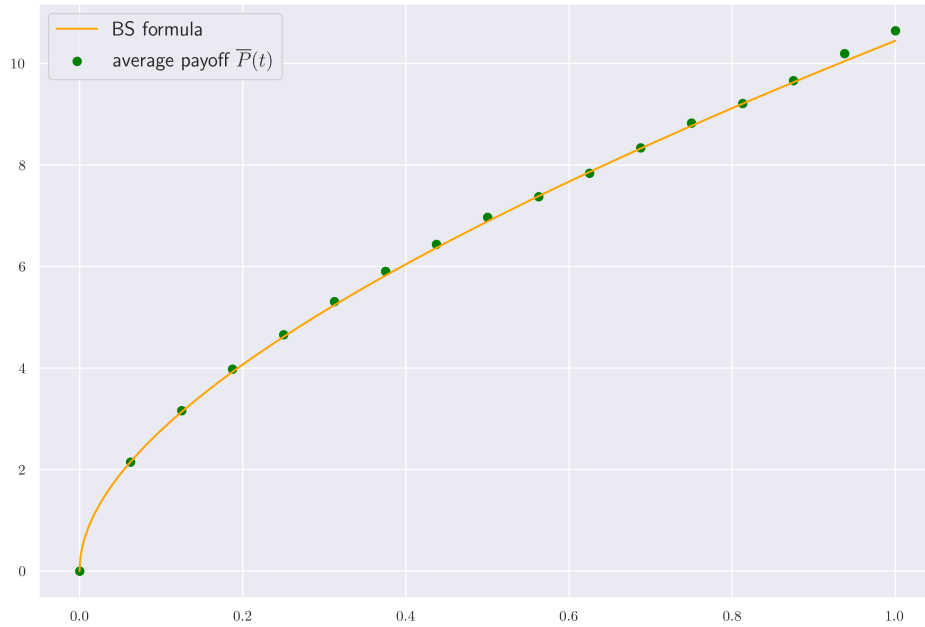


Рис. 7: Сопоставление формулы Black-Scholes (23) с результатами численных расчетов методом Monte Carlo для  $M = 10^4$  реализаций. Количество шагов  $N = 2^{10}$

Теперь приступим к реализации MLMC метода для изучения динамики цены опционного контракта. За основу взят модуль `pymlmc`, реализованный Patrick Farrell и Mike Giles на языке Python. MLMC-процедура состоит из нескольких этапов

1. На первом этапе предлагается реализовать проверку сходимости (convergence test). Начиная со значения  $l = 0$  до значения  $l = L$  находятся средние  $\text{Mean}(\hat{P}_l - \hat{P}_{l-1})$ ,  $\text{Mean}(\hat{P}_l)$ , а также отклонения  $\text{Var}(\hat{P}_l - \hat{P}_{l-1})$ ,  $\text{Var}(\hat{P}_l)$ .

Сначала реализуется проверка сходимости на основе значения коэффициента эксцесса (kurtosis). Величина kurtosis рассчитывается по формуле

$$\kappa = \frac{\eta_4 - 4\eta_3\eta_1 + 6\eta_2\eta_1^2 - 3\eta_1^4}{(\eta_2 - \eta_1^2)^2}, \quad \eta_p = \frac{1}{M} \sum_{i=1}^M (\hat{P}_l^{(i)} - \hat{P}_{l-1}^{(i)})^p.$$

Здесь  $M$  — заданное пользователем число реализаций, выбранное для проверки сходимости. Если значение  $\kappa$  слишком велико, то программа выдает предупреждение: эмпирическая оценка дисперсии является неудовлетворительной.

Также реализована проверка согласованности (consistency check). Если  $a, b, c$  есть суть оценки для величин  $\mathbb{E}[\hat{P}_l]$ ,  $\mathbb{E}[\hat{P}_{l-1}]$  и  $\mathbb{E}[\hat{P}_l - \hat{P}_{l-1}]$  соответственно, то  $a - b - c \approx 0$ . Проверка согласованности подтверждает, что это равенство выполнено с точностью, которую можно было бы ожидать из-за ошибки по методу Monte Carlo. Для проверки согласованности рассчитывается статистика

$$F = \frac{|a - b - c|}{3(\sqrt{V_a} + \sqrt{V_b} + \sqrt{V_c})},$$

где  $V_a, V_b, V_c$  — эмпирические дисперсии величин  $a, b, c$ . Вероятность того, что статистика  $F > 1$  меньше 0,3%. Если окажется так, что  $F > 1$ , то программа также выдаст предупреждение о том, что нарушается равенство для двух аппроксимаций (грубой и точной) на уровне  $l$

$$\mathbb{E}[\hat{P}_l^c] = \mathbb{E}[\hat{P}_l^f].$$

2. Далее осуществляется оценка параметров  $\alpha, \beta, \gamma$  с помощью линейной регрессии.
3. По рассчитанным параметрам  $\alpha, \beta, \gamma$  для погрешности  $\varepsilon$ , с которой мы хотим поддерживать величину  $\sqrt{\text{MSE}}$ , находятся оптимальные значения числа реализаций  $M_l$ , а также рассчитываются вычислительные затраты  $C_l$  на каждом уровне  $l$  и итоговое значение оценки  $\hat{P}_L$  на последнем уровне  $L$ .

Результаты расчетов для европейского call-опциона с заданными параметрами представлены на рис. 8. На левом верхнем графике показано поведение дисперсий  $\text{Var}(\hat{P}_l - \hat{P}_{l-1})$ , и  $\text{Var}(\hat{P}_l)$  в зависимости от номера уровня  $l$ . Наклон графика  $\text{Var}(\hat{P}_l - \hat{P}_{l-1})$  в двойном логарифмическом масштабе равен  $-\log_2 q = -2$ , что соответствует раннее доказанному факту об асимптотике  $V_l = O(\tau_l)$ . При  $l = 4$  дисперсия  $V_l$  почти в  $2^{12}$  раза меньше дисперсии  $\text{Var}(\hat{P}_l)$ , которая рассчитывается в standard Monte Carlo методе.

На правом верхнем графике представлены средние значения  $\text{Mean}(\hat{P}_l - \hat{P}_{l-1})$ , и  $\text{Mean}(\hat{P}_l)$  в зависимости от номера уровня  $l$ .

На левом нижнем графике — реализация метода MLMC для различных значений  $\varepsilon$ , на уровне которых поддерживается погрешность  $\sqrt{\text{MSE}}$ . Здесь представлены зависимости числа реализаций  $M_l$  в зависимости от номера уровня  $l$ . Уменьшение числа реализаций  $M_l$  с ростом  $l$  связано как с уменьшением дисперсий  $V_l$ , так и с уменьшением временного шага  $\tau_l$ . Максимально необходимое число уровней  $L$  увеличивается с уменьшением допуска на величину MSE.

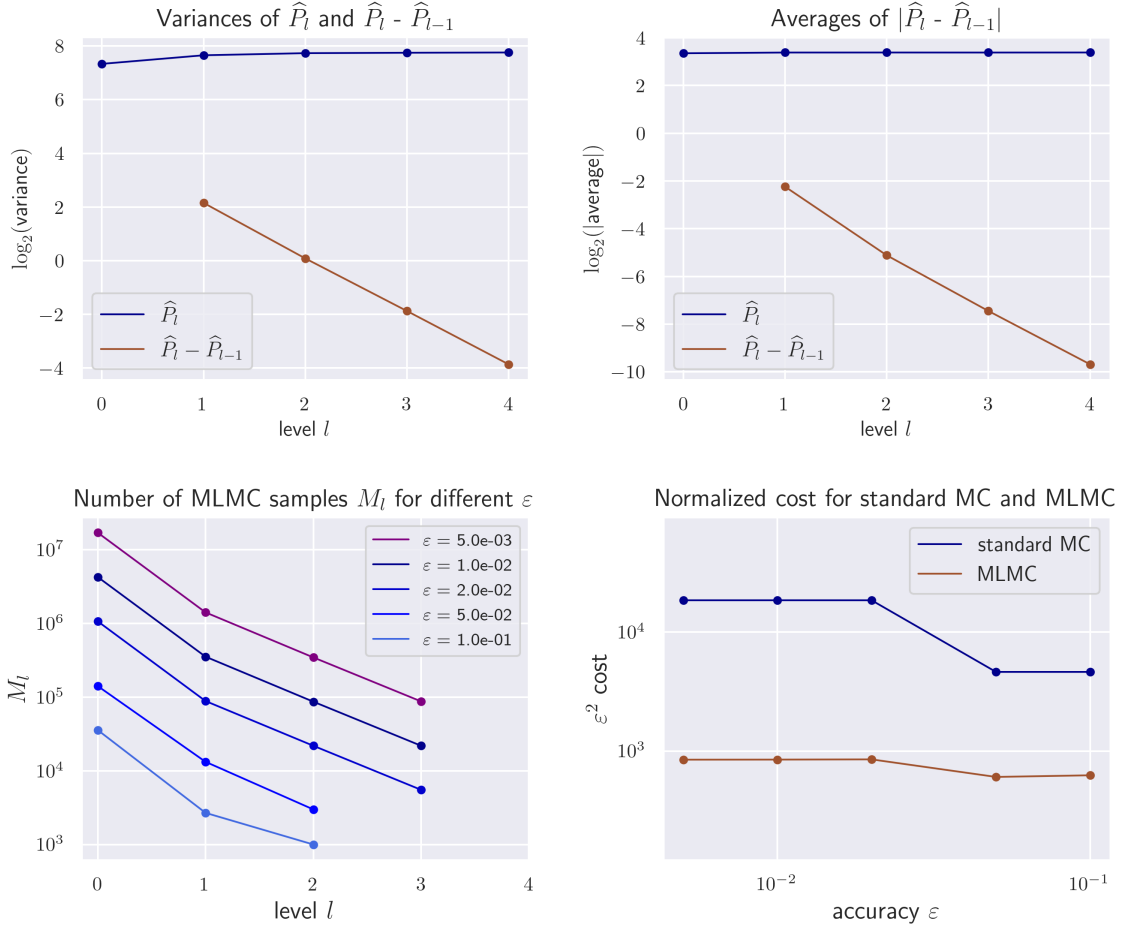


Рис. 8: Результаты применения multilevel Monte Carlo для оценки payoff европейского call-опциона

Последний правый нижний график показывает зависимость объема вычислительных ресурсов ТС, которые необходимо затратить для реализации MLMC, от требуемой точности  $\varepsilon$ .



## Список литературы

- [1] Гасников, А.В. *Стохастический анализ в задачах: Часть I* / А.В. Гасников, Н.О. Бузун, Ф.О. Гончаров, О.Г. Горбачев, С.А. Гуз, Е.А. Крымова, А.А. Натан, Е.О. Черноусова. – Москва: МФТИ, 2016. – С. 212.
- [2] Giles, M.B. *Multilevel Monte Carlo methods* / M.B. Giles. – UK, Cambridge: Cambridge University Press, 2018. – P. 70.
- [3] Giles, M.B. *Multilevel Monte Carlo Path Simulation* / M.B. Giles. // *Operations Research*. – 2008. – V. 56. – № 3. – P. 607-617.
- [4] Kloeden, P.E. *Numerical solution of stochastic differential equations* / P.E. Kloeden, E. Platen. – Berlin: Springer-Verlag, 1992. – P. 666.
- [5] Гасников, А.В. *Лекции по случайным процессам* / А.В. Гасников, Э.А. Горбунов, С.А. Гуз, Е.О. Черноусова, М.Г. Широбоков, Е.В. Шульгин. – Москва: МФТИ, 2019. – С. 285.
- [6] Булинский, А.В. *Случайные процессы. Примеры, задачи и упражнения* / А.В. Булинский. – Москва: МФТИ, 2010. – С. 216.